

## 10.

### **Métodos Varacionais aplicados ao modelamento de Descontinuidades em Guia em dois planos**

#### 10.1

##### **Introdução**

Conforme esperado, os resultados apresentados no Capítulo 9 mostraram as fortes limitações do modelo simplificado de impedância.

A questão natural que se coloca neste momento é se modelos varacionais poderiam se apresentar para suprir tais limitações, como fora demonstrado para os casos de descontinuidades em um único plano – Tópicos 7.2 e 7.3.

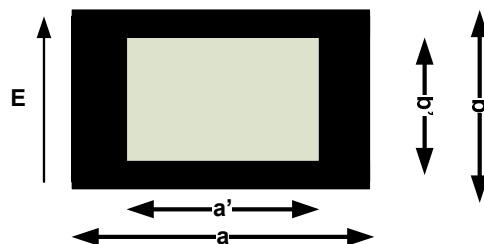
Porém, é curioso que não foram elaborados modelos varacionais para o caso de descontinuidade em dois planos, seja para o caso de descontinuidade homogênea, seja para o caso não homogêneo.

Baseados nas experiências relatadas nos capítulos anteriores, este capítulo apresenta uma proposta para o cálculo dos parâmetros que descrevem o comportamento de descontinuidade nos dois planos. As expressões foram construídas a partir da introdução de modificações heurísticas nas formulações varacionais apresentadas nas Seções 6.3 e 6.4, extendendo a amplitude de tais modelos para que pudessem ser aplicados ao caso geral de descontinuidades em dois planos, homogêneas ou não-homogêneas.

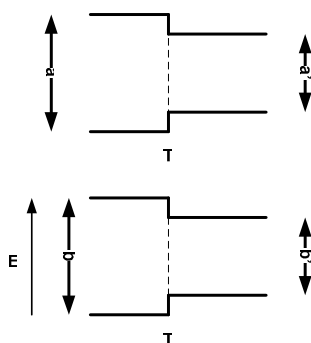
#### 10.2

### **Métodos Varacionais aplicados ao Modelamento de Descontinuidades Homogêneas em Guia – Abordagem Heurística**

A Figura 44 apresenta a geometria que envolve a descontinuidade homogênea em dois planos em guia de onda, assumindo o guia de entrada como o guia de dimensões “a” e “b”.



**Figura 44 – Descontinuidade homogênea – seção transversal.**



**Figura 45 – Geometria da descontinuidade homogênea.**

É natural que, de forma qualitativa, o coeficiente de reflexão de tal descontinuidade apresente duas componentes reativas. Uma componente capacitiva devido ao estreitamento da altura do guia de onda, e uma componente indutiva devido ao estreitamento da largura do guia de onda, (largura é definida pela dimensão do guia de onda que é ortogonal ao campo elétrico).

A questão é se podemos combinar as equações que modelam cada tipo de descontinuidade individualmente (Eq.(6.1), Eq.(6.4), Eq.(6.5), Eq.(6.6), Eq.(6.7) e Eq.(6.9)), de forma a representar a descontinuidade dupla.

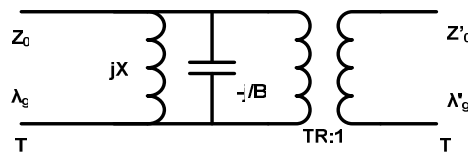
Se observarmos a Eq.(6.1), podemos identificar que a componente real do coeficiente de reflexão devido a mudança de altura do guia de onda guarda perfeita correspondência com o modelo simplificado de impedância.

O mesmo não acontece com a relação representada através das Eq.(6.6) e Eq.(6.7). Isso sugere que adicionemos uma transformação de impedância no plano da descontinuidade.

Essa transformação de impedância atuaria diretamente no valor da impedância  $Z'_0$  quando observada a partir do primeiro guia  $Z_0$ .

No entanto a reatância capacitiva devido às distorções no plano do campo elétrico acontece na região próxima à descontinuidade, porém no interior do guia de maior altura. Assim sendo, os valores calculados através da Eq.(6.9) se referenciarão a um capacitor localizado no lado esquerdo do plano da descontinuidade desenhada na Figura 44. O mesmo raciocínio pode ser aplicado para o caso da descontinuidade no plano da largura do guia de onda.

Figura 46 abaixo mostra o circuito equivalente proposto para o caso de descontinuidade homogênea:



**Figura 46 – Circuito equivalente da descontinuidade homogênea.**

Onde  $Z_0$  e  $Z'_0$  são as impedâncias características dos guias de entrada e saída e são calculadas de acordo com a equação Eq. 3.7, ou seja:

$$Z_0(\Omega) = \frac{b}{a} \frac{376.991}{\sqrt{1 - \left(\frac{\lambda}{2a}\right)^2}} \quad (10.1)$$

$$Z'_0(\Omega) = \frac{b'}{a'} \frac{376.991}{\sqrt{1 - \left(\frac{\lambda}{2a'}\right)^2}} \quad (10.2)$$

TR é a relação de transformação de impedância dada por:

$$TR \approx \left[ \frac{\lambda'_g a'}{\lambda_g a} (1.750)(1 - 0.58\alpha^2) \right] \left[ \frac{Z_0 b'}{Z'_0 b} \right] \quad \text{para } \alpha \ll 1 \quad (10.3)$$

$$TR \approx \left[ \frac{\lambda'_g a'}{\lambda_g a} \left( 1 + \beta + \frac{\beta^2}{2} \right) \right] \left[ \frac{Z_0 b'}{Z'_0 b} \right] \quad \text{para } \beta \ll 1 \quad (10.4)$$

Onde  $\alpha$  e  $\beta$  são definidos como:

$$\alpha = \frac{a'}{a} = (1 - \beta) \quad (10.5)$$

A susceptância capacitiva  $jB$  é calculada através das Eq.(6.4) e Eq.(6.5), fixando para o cálculo a largura “a” e o comprimento de onda  $\lambda_g$ , e é referenciada à impedância característica  $Z_0$ , ou seja:

$$\frac{B}{Y_0} \approx \frac{2b}{\lambda_g} \left[ \ln\left(\frac{2,7183}{4\alpha}\right) + \frac{\alpha^2}{3} + \frac{1}{2} \left(\frac{b}{\lambda_g}\right)^2 (1 - \alpha^2)^4 \right] \quad \text{para } \frac{b'}{b} < 0,6 \quad (10.6)$$

$$\frac{B}{Y_0} \approx \frac{2b}{\lambda_g} \left(\frac{\delta}{2}\right)^2 \left[ \frac{2 \ln(2/\delta)}{(1 - \delta)} + 1 + \frac{17}{16} \left(\frac{b}{\lambda_g}\right)^2 \right] \quad \text{para } \frac{b'}{b} > 0,6 \quad (10.7)$$

A reatância indutiva do modelo é calculada através das Eq.(6.9) e Eq.(6.12), fixando para o cálculo a largura “a” e o comprimento de onda  $\lambda_g$ , ou seja, é referenciada à impedância característica  $Z_0$ .

$$\frac{X}{Z_0} \approx \frac{2a}{\lambda_g} 2,330\alpha^2 (1 + 1,56\alpha^2) (1 + 6,75\alpha^2 Q) \quad \text{para } \alpha \ll 1 \quad (10.8)$$

$$\frac{X}{Z_0} \approx \frac{\lambda_g}{2a} \frac{\beta^2 (1 + \beta) \ln(2/\beta)}{\left(1 - \frac{\beta}{2}\right)} \left( 1 - \frac{27}{8} \left( \frac{Q + Q'}{1 + 8 \ln(2/\beta)} \right) \right) \quad \text{para } \beta \ll 1 \quad (10.9)$$

onde:

$$\alpha = \frac{a'}{a} = (1 - \beta) \quad (10.10)$$

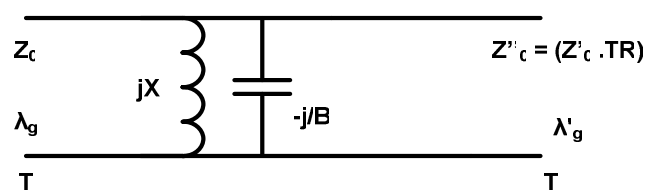
$$Q = 1 - \sqrt{1 - \left(\frac{2a}{3\lambda}\right)^2} \quad (10.11)$$

$$Q' = 1 - \sqrt{1 - \left(\frac{2a'}{3\lambda}\right)^2} \quad (10.12)$$

A impedância característica  $Z_0'$  do guia de saída, assume no plano antes da descontinuidade, o valor  $Z_0''$ , quando observada a partir do primeiro guia de entrada, ou seja:

$$Z_0'' = Z_0' \times TR \quad (10.13)$$

Assim sendo, para o cálculo da impedância vista a partir do guia de entrada 1, o circuito equivalente final na descontinuidade, composto por elementos concentrados pode ser descrito como na Figura 47.



**Figura 47 – Circuito equivalente transformado da descontinuidade homogênea.**

### 10.3

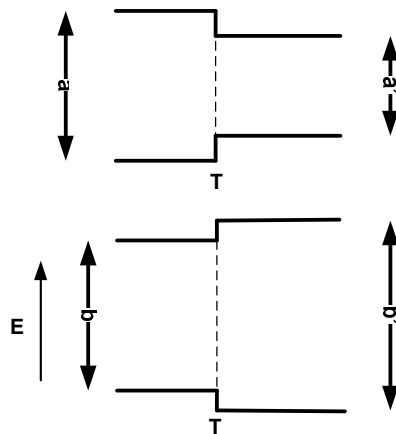
#### **Métodos Varacionais aplicados ao Modelamento de Descontinuidades Não-Homogêneas em Guia – Abordagem Heurística**

A Figura 48 apresenta a geometria que envolve a descontinuidade não-homogênea em dois planos em guia de onda, assumindo o guia de entrada como o guia de dimensões “a” e “b”.

De maneira similar ao caso do Item 10.2 anterior, e de forma qualitativa, o coeficiente de reflexão de tal descontinuidade apresenta também duas componentes reativas.

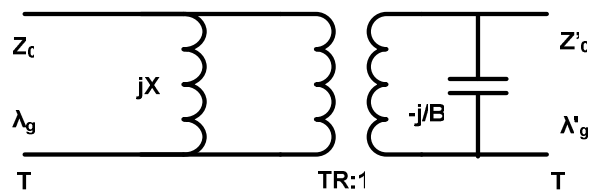
A diferença com relação ao caso de descontinuidade homogênea é a localização da reatância capacitiva que modela a descontinuidade no plano do campo elétrico. A reatância capacitiva devido às distorções no plano do campo elétrico acontece na região próxima à descontinuidade no interior do guia de maior altura. Assim sendo, os valores calculados através da Eq.(6.9) se

referenciam a um capacitor localizado no lado direito do plano da descontinuidade desenhada na Figura 48.



**Figura 48 – Geometria da descontinuidade não-homogênea.**

Veja na Figura 49 a seguir o circuito equivalente proposto para o caso de descontinuidade não-homogênea:



**Figura 49 – Circuito equivalente da descontinuidade não-homogênea.**

Onde  $Z_0$  e  $Z'_0$  são as impedâncias características dos guias de entrada e saída e são calculadas de acordo com a equação Eq. 3.7, ou seja:

$$Z_0(\Omega) = \frac{b}{a} \frac{376.991}{\sqrt{1 - \left(\frac{\lambda}{2a}\right)^2}} \quad (10.14)$$

$$Z'_0(\Omega) = \frac{b'}{a'} \frac{376.991}{\sqrt{1 - \left(\frac{\lambda}{2a'}\right)^2}} \quad (10.15)$$

TR é a relação de transformação de impedância dada por:

$$TR \approx \left[ \frac{\lambda_g' a'}{\lambda_g a} (1.750)(1 - 0.58\alpha^2) \right] \left[ \frac{Z_o' b'}{Z_o b} \right] \quad \text{para } \alpha \ll 1 \quad (10.16)$$

$$TR \approx \left[ \frac{\lambda_g' a'}{\lambda_g a} \left( 1 + \beta + \frac{\beta^2}{2} \right) \right] \left[ \frac{Z_o' b'}{Z_o b} \right] \quad \text{para } \beta \ll 1 \quad (10.17)$$

Onde  $\alpha$  e  $\beta$  são definidos como:

$$\alpha = \frac{a'}{a} = (1 - \beta) \quad (10.18)$$

A susceptância capacitiva  $jB$  é calculada através das Eq.(6.4) e Eq.(6.5), fixando para o cálculo a largura “ a ’ ” e o comprimento de onda  $\lambda_g'$ , ou seja, é referenciada à impedância característica  $Z_o'$ , ou seja:

$$\frac{B}{Y_o'} \approx \frac{2b}{\lambda_g'} \left[ \ln\left(\frac{e}{4\alpha}\right) + \frac{\alpha^2}{3} + \frac{1}{2} \left(\frac{b}{\lambda_g'}\right)^2 (1 - \alpha^2)^4 \right] \quad \text{para } \frac{b'}{b} < 0,6 \quad (10.19)$$

$$\frac{B}{Y_o'} \approx \frac{2b}{\lambda_g'} \left(\frac{\delta}{2}\right)^2 \left[ \frac{2 \ln\left(\frac{2}{\delta}\right)}{(1 - \delta)} + 1 + \frac{17}{16} \left(\frac{b}{\lambda_g'}\right)^2 \right] \quad \text{para } \frac{b'}{b} > 0,6 \quad (10.20)$$

A reatância indutiva do modelo é calculada através das Eq.(6.9) e Eq.(6.12), fixando para o cálculo a largura “ a ” e o comprimento de onda  $\lambda_g$ , ou seja, é referenciada à impedância característica  $Z_o$ .

$$\frac{X}{Z_o} \approx \frac{2a}{\lambda_g} 2.330\alpha^2 (1 + 1.56\alpha^2) (1 + 6.75\alpha^2 Q) \quad \text{para } \alpha \ll 1 \quad (10.21)$$

$$\frac{X}{Z_o} \approx \frac{\lambda_g \beta^2 (1 + \beta) \ln\left(\frac{2}{\beta}\right)}{2a \left(1 - \frac{\beta}{2}\right)} \left( 1 - \frac{27}{8} \left( \frac{Q + Q'}{1 + 8 \ln\left(\frac{2}{\beta}\right)} \right) \right) \quad \text{para } \beta \ll 1 \quad (10.22)$$

onde:

$$\alpha = \frac{a'}{a} = (1 - \beta) \quad (10.23)$$

$$Q = 1 - \sqrt{1 - \left(\frac{2a}{3\lambda}\right)^2} \quad (10.24)$$

$$Q' = 1 - \sqrt{1 - \left(\frac{2a'}{3\lambda}\right)^2} \quad (10.25)$$

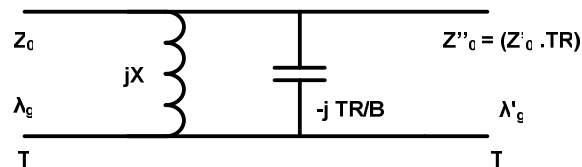
A impedância característica  $Z'_0$  do guia de saída, assume no plano antes da descontinuidade, o valor transformado  $Z''_0$ , quando observada a partir do primeiro guia de entrada.

$$Z''_0 = Z'_0 \times TR \quad (10.26)$$

A susceptância capacitiva  $B$ , assume no plano antes da descontinuidade, o valor transformado  $B'$ , quando observada a partir do primeiro guia de entrada.

$$B' = B / TR \quad (10.27)$$

Assim sendo, o circuito equivalente final, composto por elementos concentrados pode ser descrito como na Figura 50.



**Figura 50 – Circuito equivalente transformado da descontinuidade não-homogênea.**